

有効場の理論を用いた T_{cc} の性質



Tomona Kinugawa



Tetsuo Hyodo

Department of Physics, Tokyo Metropolitan University
September 7th JPS 2022 autumn

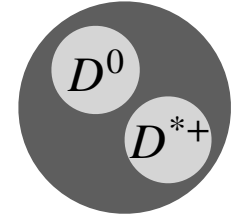
背景

エキゾチックハドロン → ハドロン分子状態

= qqq or $q\bar{q}$ で到達できない量子数

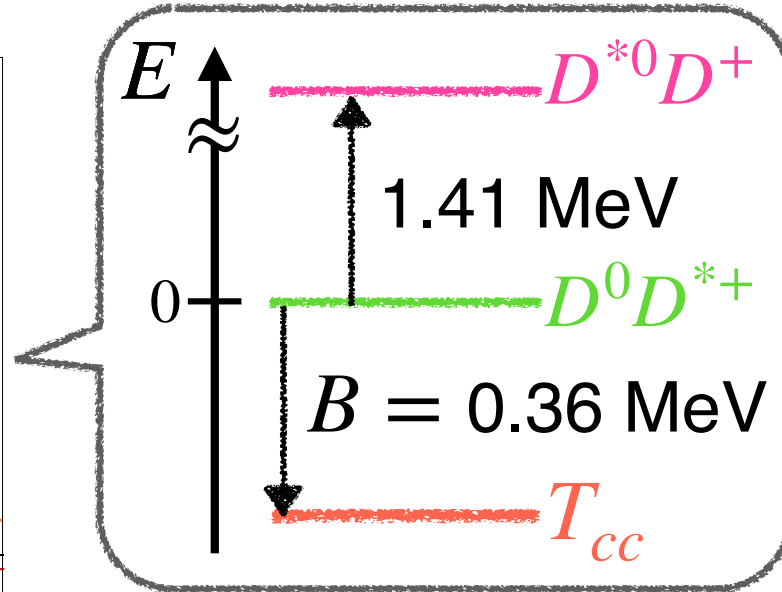
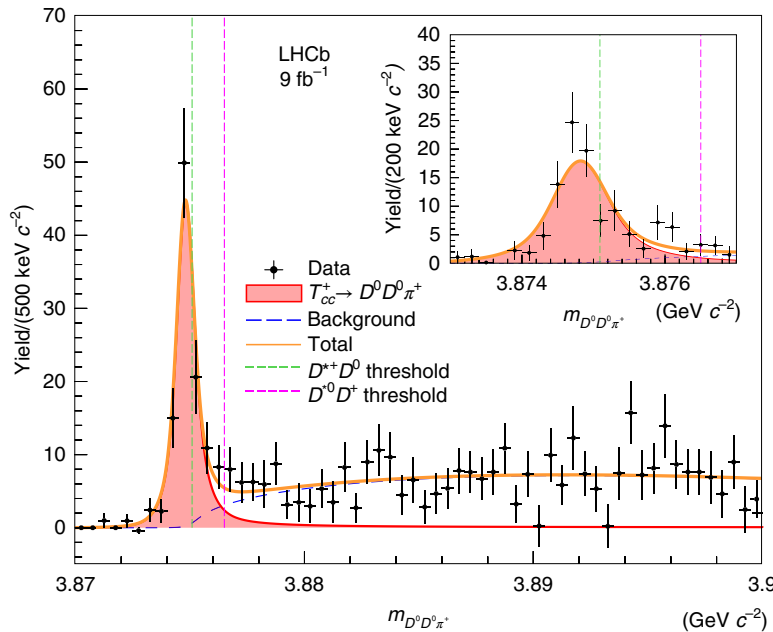


マルチクォーク



ハドロン分子

T_{cc} (2021年発見)



LHCb Collaboration, Nature Phys. **18** (2022) no.7, 751-754;

LHCb Collaboration, Nat. Commun **13** 3351 (2022).

$$T_{cc} \rightarrow D^0 D^0 \pi^+ (c\bar{u}c\bar{u}d\bar{d})$$

→ 最低でも $cc\bar{u}\bar{d}$

T_{cc} の内部構造

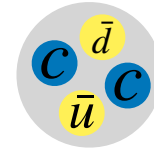
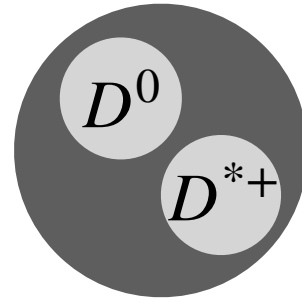


有効場の理論 & 複合性

複合性

◎ 簡易的な定義

ハドロンの波動関数



$$|T_{cc}\rangle = \sqrt{X} |\text{hadronic molecule}\rangle + \sqrt{1-X} |\text{others}\rangle$$

複合性 (ハドロン分子状態の重み)

※ 定義より $0 \leq X \leq 1$ \longrightarrow $X > 0.5$ なら複合的

◎ 計算方法

1. 弱束縛関係式 (モデル非依存)

S. Weinberg, Phys. Rev. 137, B672 (1965);

Y. Kamiya and T. Hyodo, PTEP 2017, 023D02 (2017);

T. Kinugawa and T. Hyodo, Phys. Rev. C 106, 015205 (2022)

$$a_0 = R \left\{ \frac{2X}{1+X} + \mathcal{O}\left(\frac{R_{\text{typ}}}{R}\right) \right\}$$

a_0 : 散乱長
 $R \equiv (2\mu B)^{-1/2}$, B : 束縛エネルギー

$$R_{\text{typ}} = \max\{R_{\text{int}}, r_e, \dots\} \quad (R_{\text{int}} : \text{相互作用長さ}, r_e : \text{有効レンジ})$$

2. モデル計算!

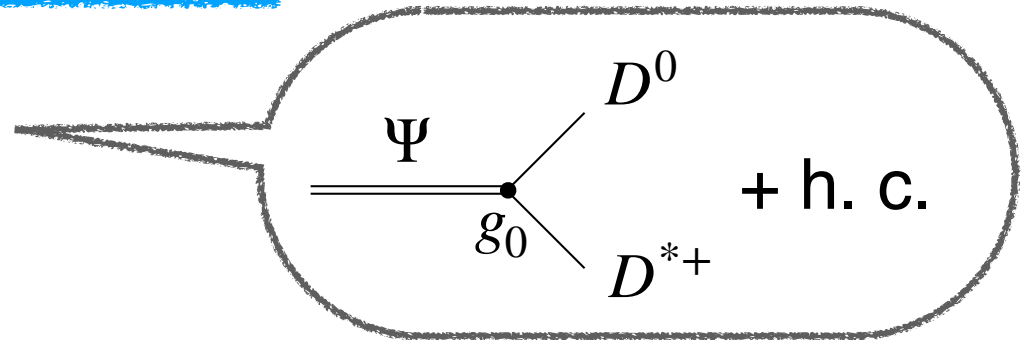
● 1チャンネル共鳴模型

$$\mathcal{H}_{\text{free}} = \frac{1}{2m_{D^0}} \nabla D^{0\dagger} \cdot \nabla D^0 + \frac{1}{2m_{D^{*+}}} \nabla D^{*+\dagger} \cdot \nabla D^{*+} + \frac{1}{2m_{\Psi}} \nabla \psi^\dagger \cdot \nabla \psi + \nu_0 \psi^\dagger \psi,$$

①

$$\mathcal{H}_{\text{int}} = g_0 (\psi^\dagger D^0 D^{*+} + D^{0\dagger} D^{*+\dagger} \psi).$$

②



① 1チャンネル散乱

② コンパクトな4クォーク状態 $\Psi (cc\bar{u}\bar{d})$ との結合

● 散乱振幅

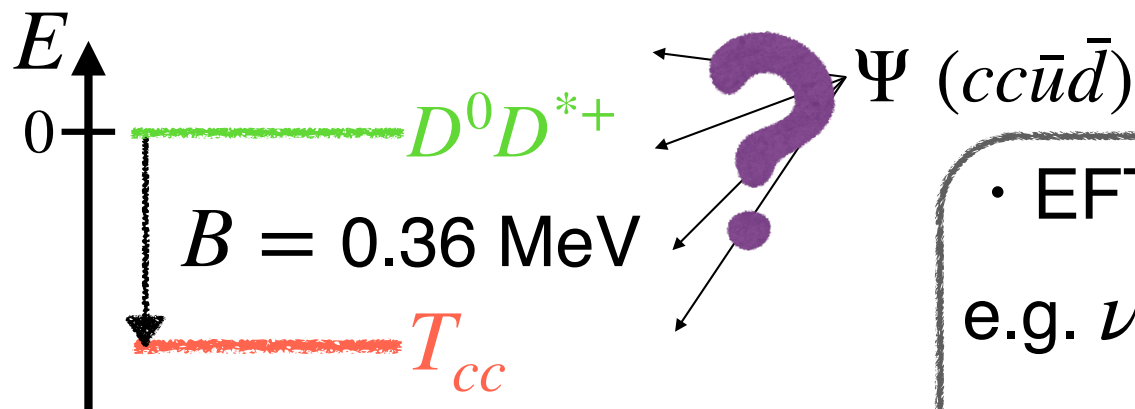
$$V = \frac{g_0^2}{E - \nu_0}, \quad G = -\frac{\mu}{\pi^2} \left(\Lambda + \frac{\pi}{2} ik \right). \quad \Lambda : \text{カットオフ}$$

※ $\Lambda \rightarrow \infty$ で消える項は無視

$$T = \frac{1}{V^{-1} - G} \rightarrow f(k) = \left[-\frac{2\pi}{\mu} \left(\frac{\frac{k^2}{2\mu} - \nu_0}{g_0^2} \right) - \frac{2\Lambda}{\pi} - ik \right]^{-1}. \quad (k \ll \Lambda)$$

模型のパラメタ

- ・ カットオフ $\Lambda : 0.14 \text{ GeV} = m_\pi$ (π 交換)
- ・ 結合定数 $g_0 : g_0^2(\Lambda, \nu_0, B) = \left(\frac{\kappa^2}{2\mu} + \nu_0 \right) \frac{2\pi}{\mu(2\Lambda/\pi - \kappa)}$, $\kappa = \sqrt{2\mu B}$.
 \therefore 束縛状態の条件式 $f^{-1} = 0$
- ・ 散乱の閾値から測った4クォーク状態のエネルギー ν_0



- ・ EFT以外の模型で決める
e.g. $\nu_0 = 7 \text{ MeV}$ (クォーク模型)
M. Karliner and J. L. Rosner, PRL 119, 202001 (2017)

- ・ 可能な範囲で変化させる

B, Λ を固定 $\xrightarrow{g_0^2(\Lambda, \nu_0, B)}$ ν_0 を自由に変化させる
束縛状態の条件式

LHCb Collaboration, Nature Phys. 18
(2022) no.7, 751-754.

模型計算

・ ν_0 の範囲 : $-B \leq \nu_0 \leq \Lambda^2/(2\mu)$

$g_0^2 \geq 0$ を与える ν_0 : $-B \leq \nu_0$

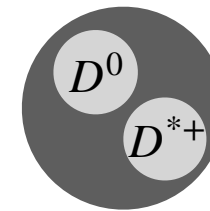
有効場の理論における上限 : $\nu_0 \leq \Lambda^2/(2\mu)$

● 計算するもの

① ν_0 の関数としての g_0^2

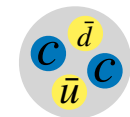
② ν_0 の関数としての X

$X > 0.5$



or

$X < 0.5$



T_{cc} の内部構造?

$$T = V + VGT$$

$$\alpha'(E) = d\alpha/dE$$

Y. Kamiya and T. Hyodo,
PTEP 2017, 023D02 (2017).

複合性 X

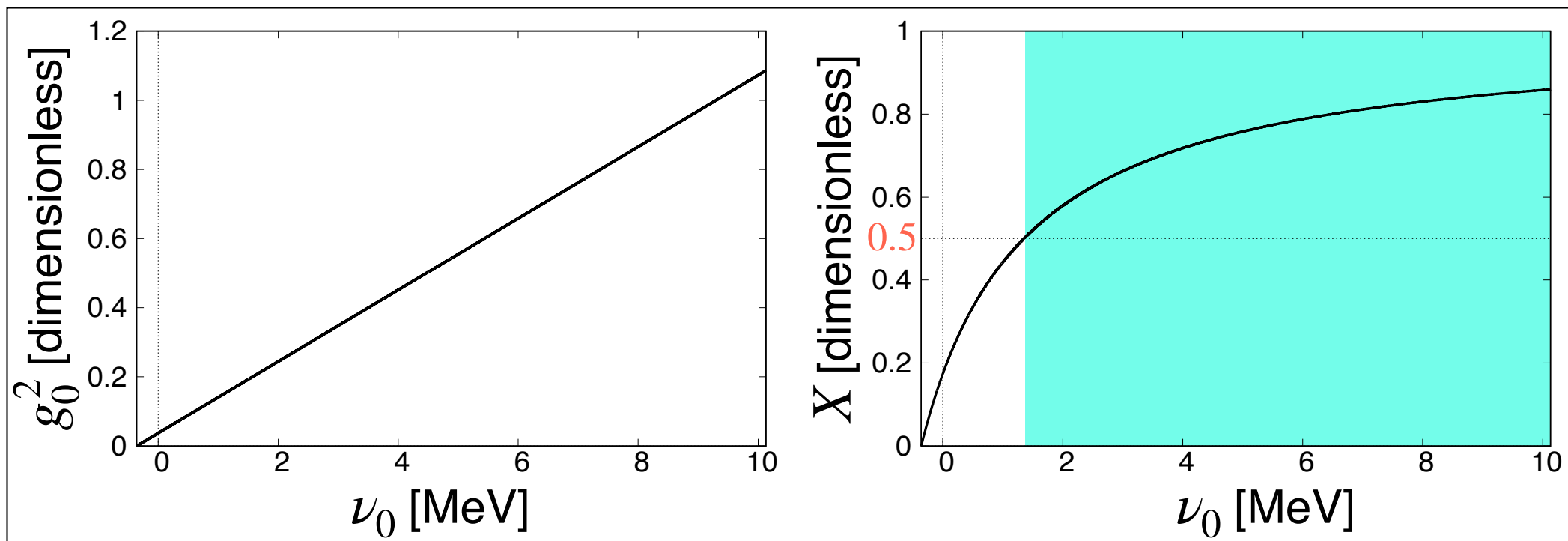
$$X = \frac{G'(-B)}{G'(-B) - [V^{-1}(-B)]'}$$

$$X = \left[1 + \frac{2\pi}{R\mu^2 g_0^2} \right]^{-1}, \quad R = 1/\sqrt{2\mu B}.$$

計算結果

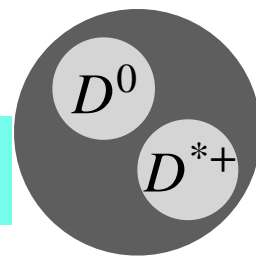
$$-B \leq \nu_0 \leq \Lambda^2/(2\mu), \quad B = 0.36 \text{ MeV}$$

7



ν_0 の関数としての g_0^2 (左) と X (右)

- ・ほとんど (84 %) の ν_0 の範囲で複合的 ($X \geq 0.5$)



! $cc\bar{u}\bar{d}$ との結合のみで作られた束縛状態なのに $X > 0.5$



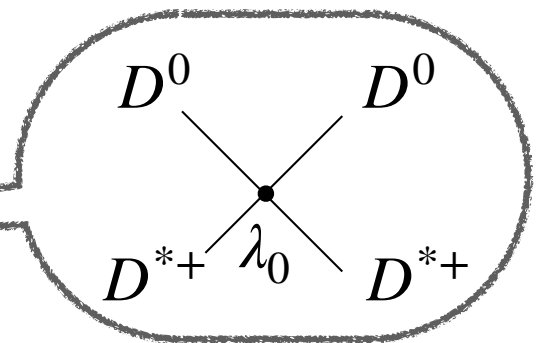
低エネルギー普遍性 (B が小)

まとめ

- 有効場の理論 → 複合性 X の計算 → T_{cc} の内部構造？
- コンパクトな4クォーク状態 ($cc\bar{u}\bar{d}$) と $D^0 D^{*+}$ との結合を持つ模型
- $cc\bar{u}\bar{d}$ のエネルギー ν_0 を変えながら複合性 X の計算
 → ほとんど (84 %) の ν_0 の範囲で複合的
 $cc\bar{u}\bar{d}$ との結合のみで作られた束縛状態なのに複合的
 ∴ 低エネルギー普遍性

● 今後の見通し

- 2チャンネルへの拡張： $D^{*0} D^+$ チャンネルの追加
- さらなる相互作用：4点相互作用の追加
- G の近似なしの計算 $G = -\frac{\mu}{\pi^2} \left[\Lambda + ik \arctan\left(\frac{\Lambda}{-ik}\right) \right]$
- p 波散乱の場合に低エネルギー普遍性が現れるか？



有効場の理論を用いた T_{cc} の性質



Tomona Kinugawa



Tetsuo Hyodo

Department of Physics, Tokyo Metropolitan University
September 7th JPS 2022 autumn

有効場の理論 (EFT)

ある微視的な理論の低エネルギー極限を記述

e.g. Euler-Heisenberg理論 (QED)

カイラル摂動論 (QCD)

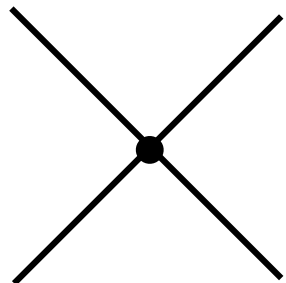
イメージ

$\mathcal{H}_{\text{micro}}$



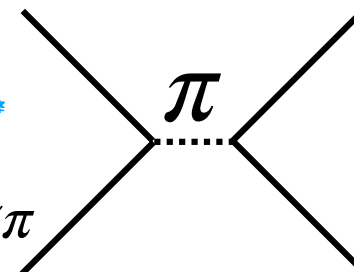
$\mathcal{H}_{\text{EFT}} : k \ll \Lambda$ の
現象を記述

Λ (カットオフ)



点状相互作用
(EFT)

$k \ll \Lambda \sim m_\pi$



微視的構造
が見える

● エキゾチックハドロン候補の複合性

弱束縛関係式による複合性 X の見積もり

bound state	compositeness X
d	$0.74 \leq X \leq 1$
$X(3872)$	$0.53 \leq X \leq 1$
$D_{s0}^*(2317)$	$0.81 \leq X \leq 1$
$D_{s1}(2460)$	$0.55 \leq X \leq 1$
$N\Omega$ dibaryon	$0.80 \leq X \leq 1$
$\Omega\Omega$ dibaryon	$0.79 \leq X \leq 1$
${}^3_{\Lambda}H$	$0.74 \leq X \leq 1$
${}^4\text{He}$ dimer	$0.93 \leq X \leq 1$

浅い束縛状態は模型非依存に
複合性を見積もれる

→ 調べた状態全てにおいて
複合的 ($X \geq 0.5$)

T_{cc} は観測量 (有効レンジ) の不定性が大きすぎて

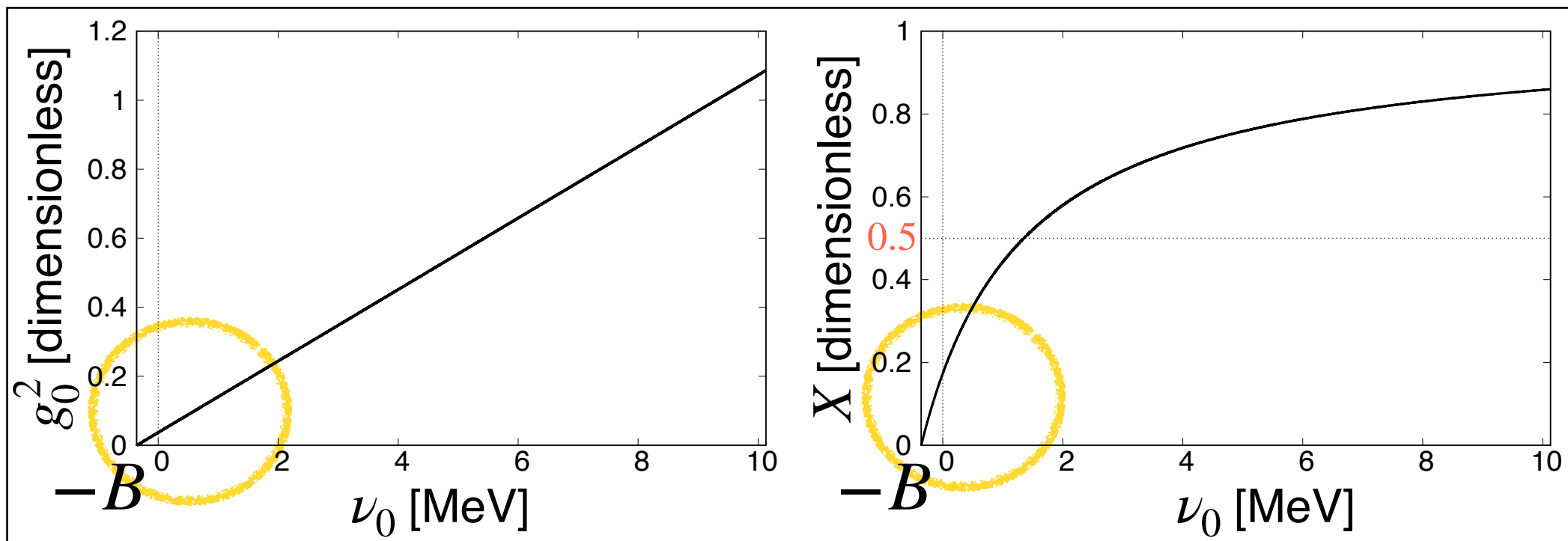
弱束縛関係式から複合性を見積もれない...

→ 束縛エネルギーを再現する模型を用いて X を計算

計算結果

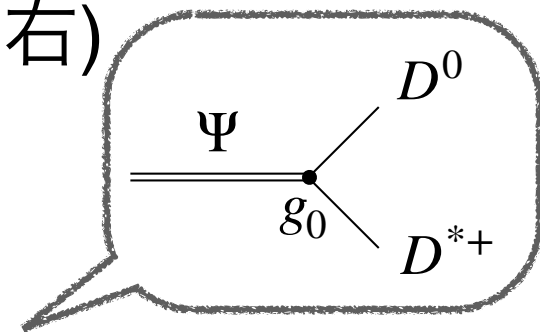
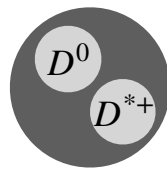
$$-B \leq \nu_0 \leq \Lambda^2/(2\mu), \quad B = 360 \text{ keV}$$

12



ν_0 の関数としての g_0^2 (左) と X (右)

$\nu_0 \sim -B$ のとき



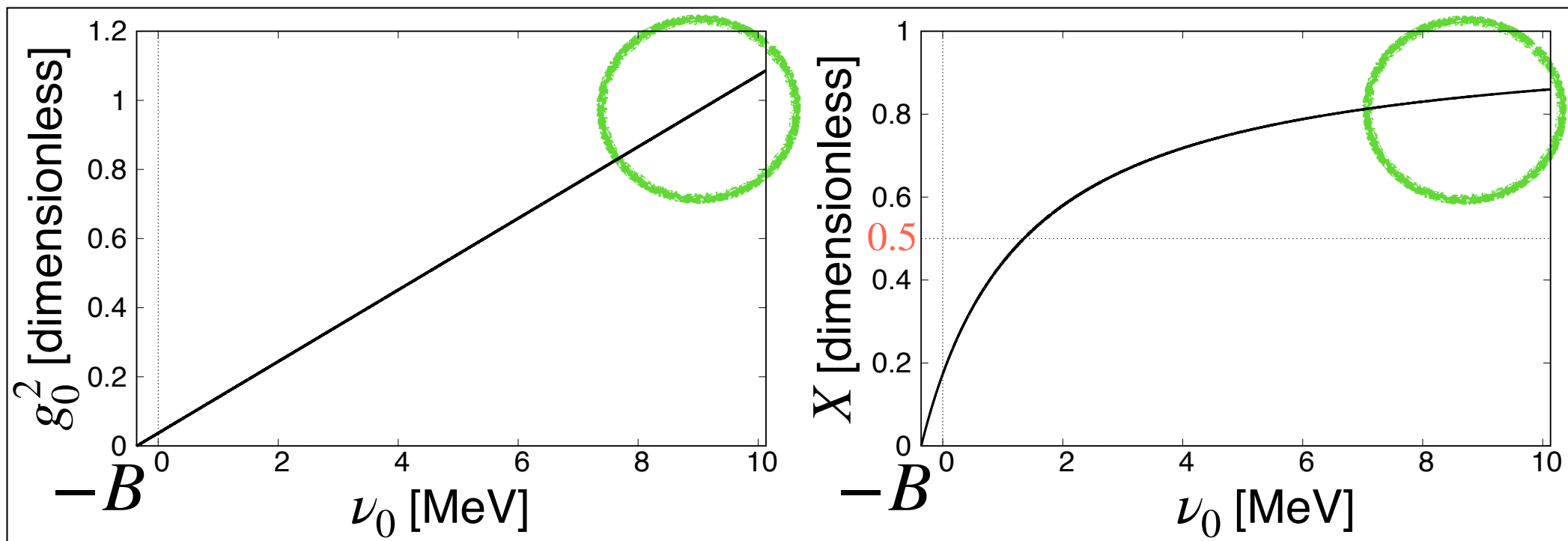
g_0^2 が小さい \longleftrightarrow $cc\bar{u}\bar{d}$ と散乱状態との結合が小さい

\longleftrightarrow X が小さい

計算結果

$$-B \leq \nu_0 \leq \Lambda^2/(2\mu), \quad B = 360 \text{ keV}$$

13



ν_0 の関数としての g_0^2 (左) と X (右)

$\nu_0 \gg -B$ のとき

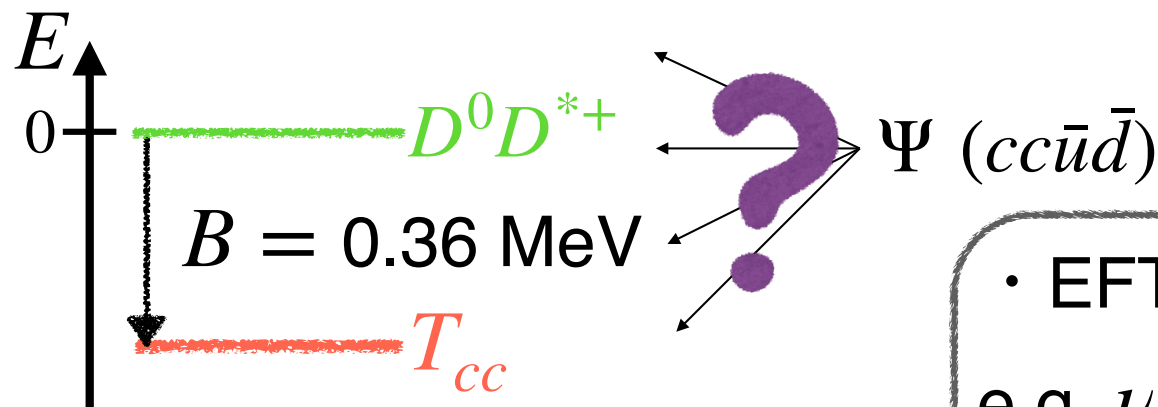
g_0^2 が大きい \longleftrightarrow X も大きい ($\nu_0 \sim B$ と逆)

! $cc\bar{u}\bar{d}$ との結合のみで作られた束縛状態なのに $X > 0.5$

\longleftarrow 低エネルギー—普遍性 (B が小)

クォークモデルでの ν_0

- ・ 散乱の閾値から測った離散固有状態のエネルギー ν_0



- ・ EFT以外のモデルで決める

e.g. $\nu_0 = 7 \text{ MeV}$ (クォークモデル)

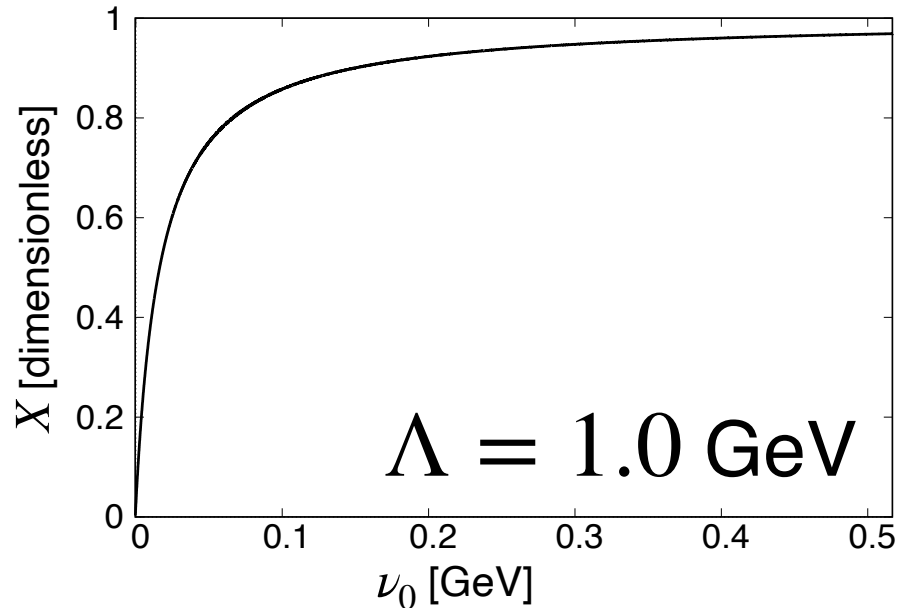
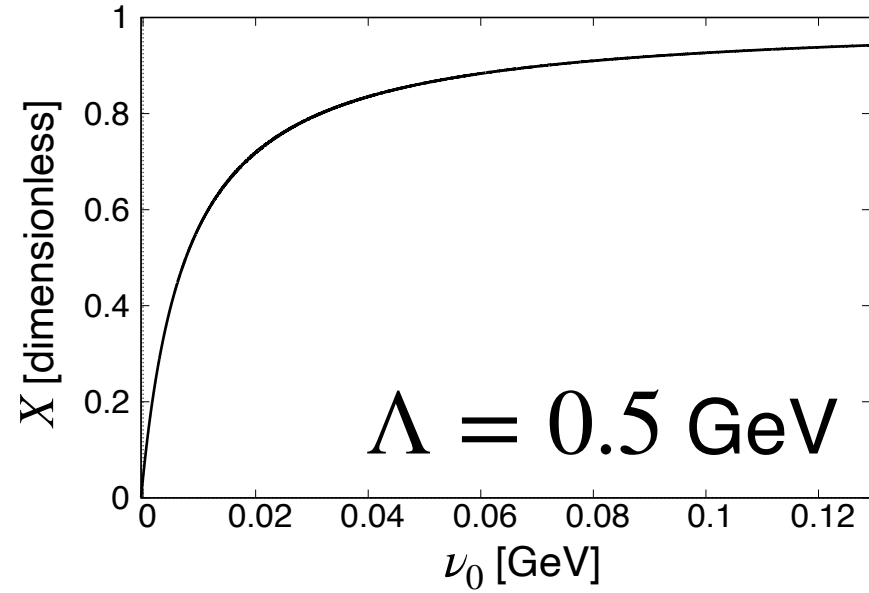
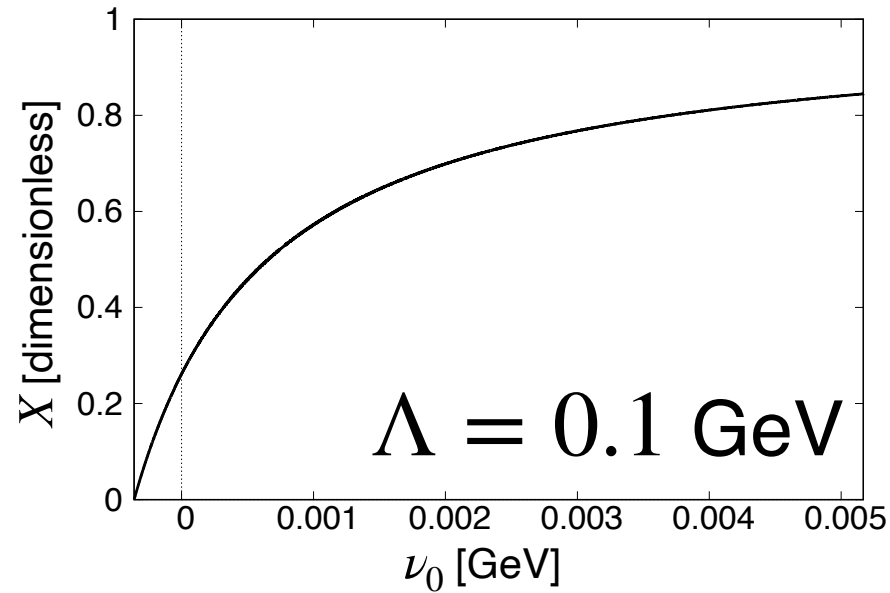
M. Karliner and J. L. Rosner, PRL 119, 202001 (2017)

- ・ カットオフ $\Lambda = 0.14 \text{ GeV}$
- ・ 束縛エネルギー $B = 0.36 \text{ GeV}$

・ $cc\bar{u}\bar{d}$ のエネルギー $\nu_0 = 0.007 \text{ GeV}$

→ $X = 0.81$ (複合的)

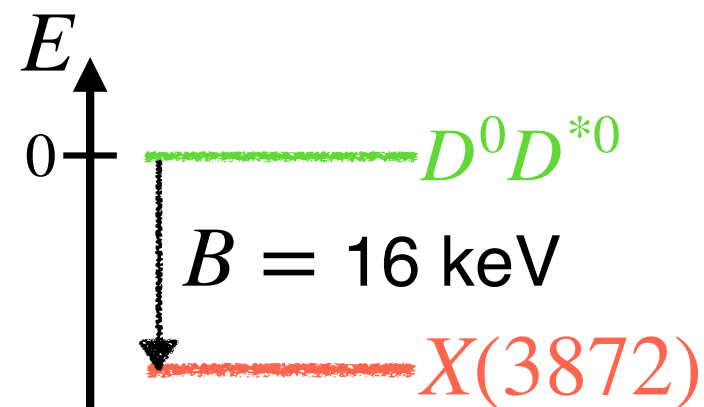
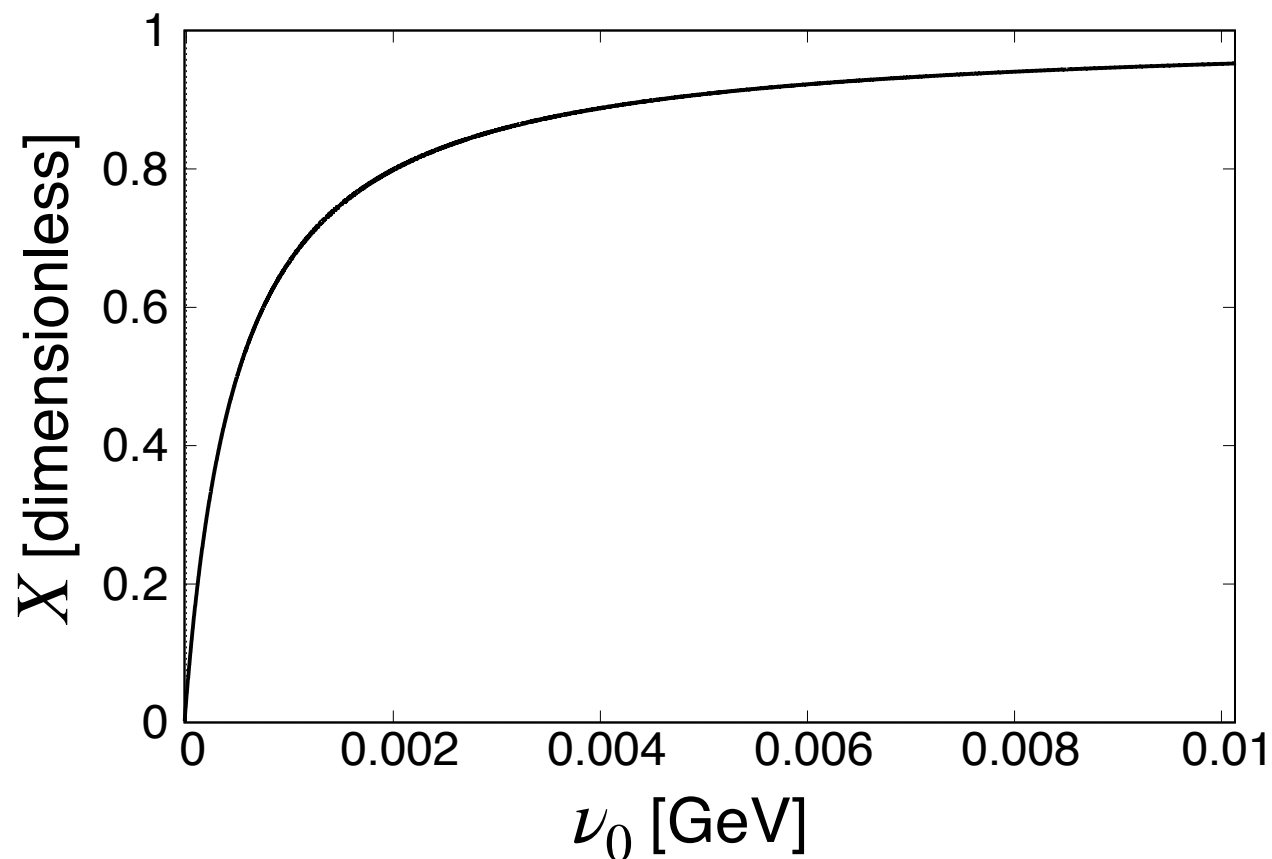
カットオフを変えた計算



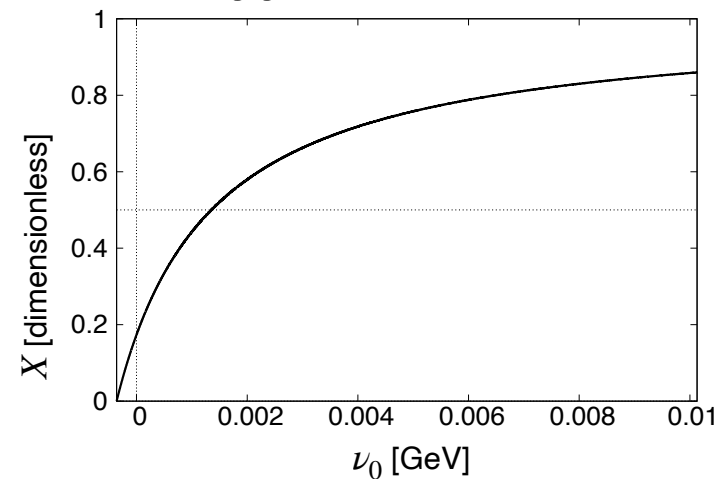
$$-B \leq \nu_0 \leq \Lambda^2 / (2\mu_0)$$

$$B = 360 \text{ keV}$$

$$\boxed{X(3872)} \quad -B \leq \nu_0 \leq \Lambda^2/(2\mu_0), \quad B = 16 \text{ keV} \quad 16$$



$T_{cc} \text{ } 360 \text{ keV}$



2チャンネル

$$\mathcal{H}_{\text{free}} = \frac{1}{2m_{D^0}} \nabla D^{0\dagger} \cdot \nabla D^0 + \frac{1}{2m_{D^{*+}}} \nabla D^{*+\dagger} \cdot \nabla D^{*+} + \frac{1}{2m_{\psi}} \nabla \psi^\dagger \cdot \nabla \psi + \nu_0 \psi^\dagger \psi$$

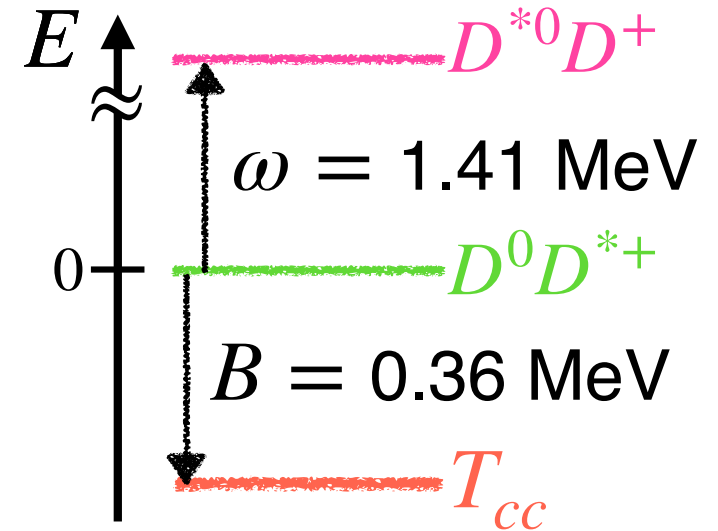
$$+ \omega_0 D^{0\dagger} D^0 + \omega_+ D^{*+\dagger} D^{*+},$$

上のチャンネル

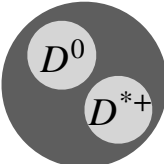
$$\mathcal{H}_{\text{int}} = g_0(\psi^\dagger D^0 D^{*+} + D^{0\dagger} D^{*+\dagger} \psi).$$

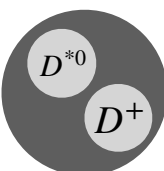
ω_0 : 閾値から測った D^0 のエネルギー

ω_+ : 閾値から測った D^{*+} のエネルギー



● 複合性

$$X_1 = \frac{G'_1}{(G'_1 + G'_2) - [V^{-1}]},$$


$$X_2 = \frac{G'_2}{(G'_1 + G'_2) - [V^{-1}]},$$


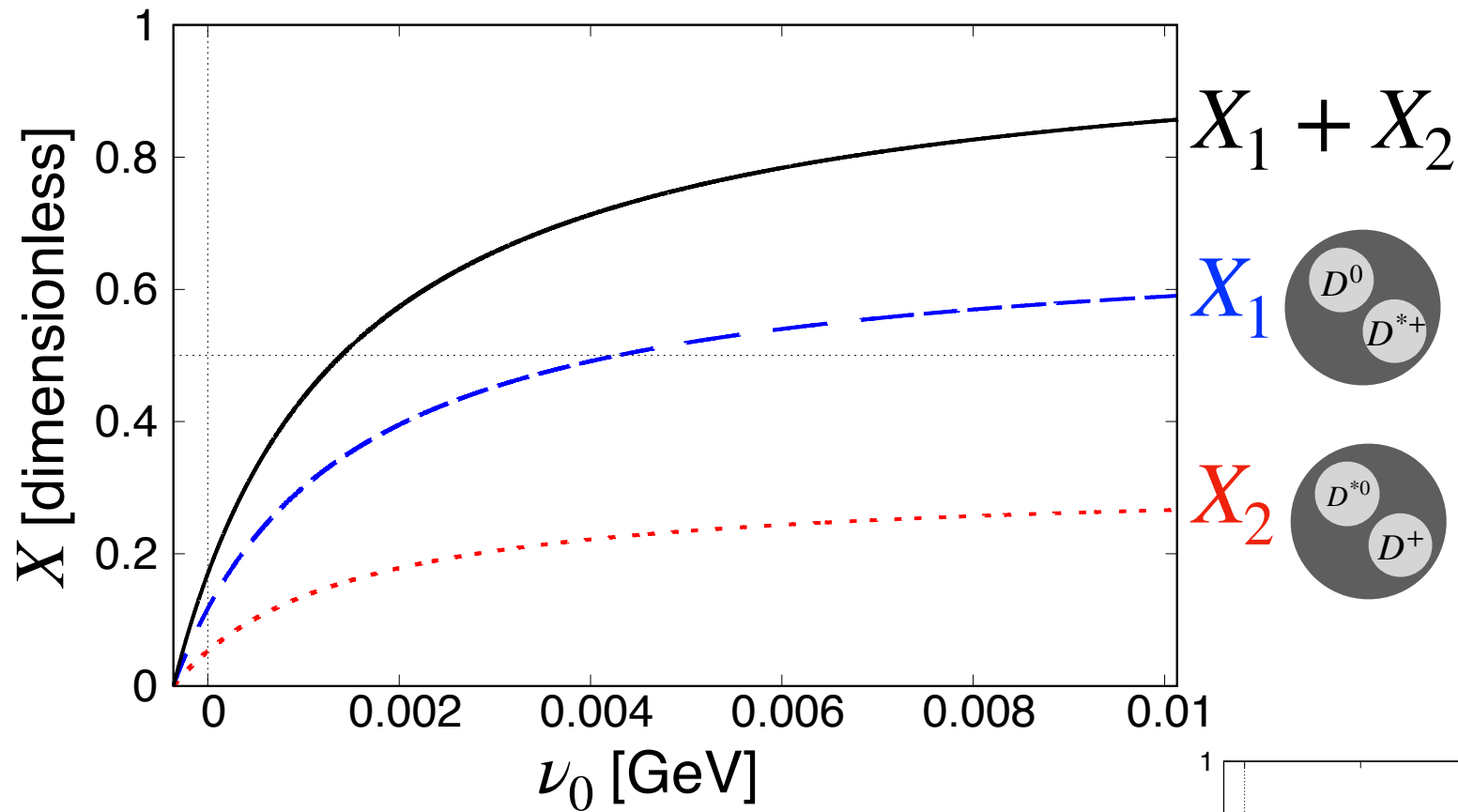
$$V = \frac{g_0^2}{E - \nu_0}, \quad G_{1,2} = -\frac{\mu_{1,2}}{\pi^2} \left(\Lambda - \frac{\pi}{2} \kappa_{1,2} \right).$$

$\mu_{1,2}$: チャンネル1,2の換算質量

$$\kappa_1 = \sqrt{2\mu_1 B}$$

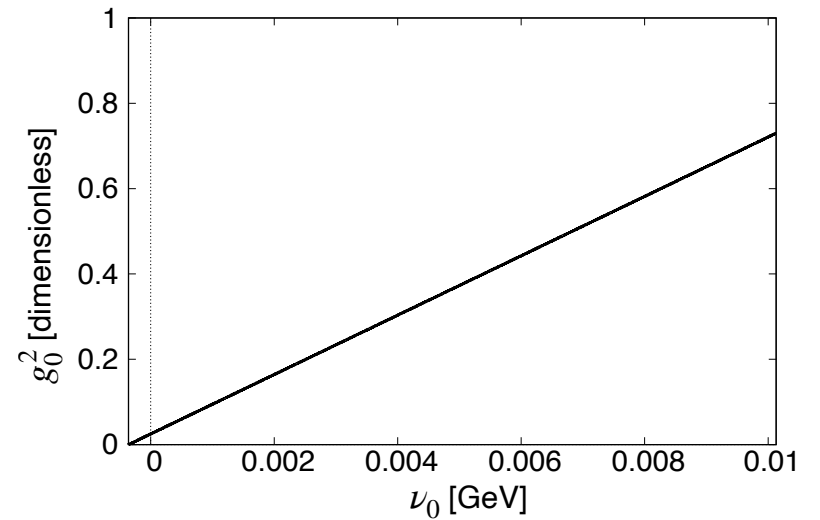
$$\kappa_2 = \sqrt{2\mu_1 (B + \omega)}$$

2チャンネル T_{cc}

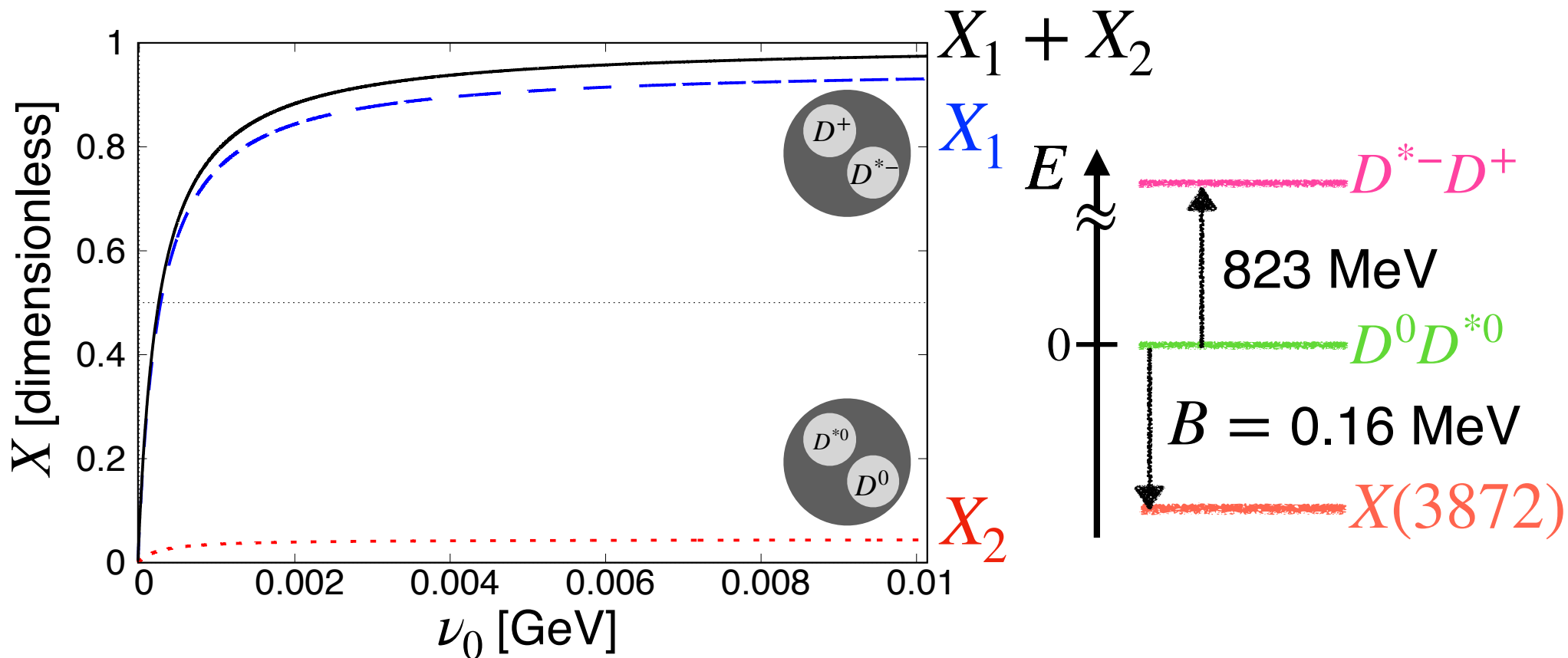


$B = 360 \text{ keV}, \Lambda = 0.14 \text{ GeV}$

$-B \leq \nu_0 \leq \Lambda^2 / (2\mu_0)$



$$\boxed{X(3872)} \quad -B \leq \nu_0 \leq \Lambda^2/(2\mu_0), \quad B = 16 \text{ keV} \quad 19$$



T_{cc} と比べると...

B が小 \rightarrow $X_1 + X_2$ が大

ω が大 \rightarrow $X_1 \gg X_2$